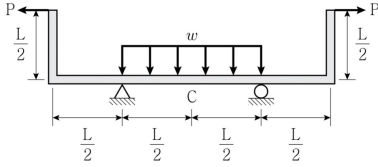
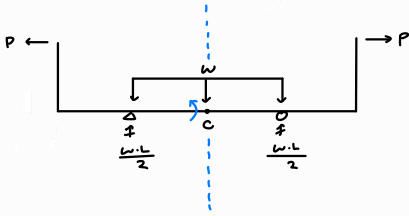


문 1. 그림과 같은 양단 내민보의 중앙 C에서 휨모멘트가 0이 되기 위한 하중 P의 크기가 $C_1 wL$ 일 때, 상수 C_1 은? (단, 구조물의 자중은 무시한다)



- ① 1/4
- ② 1/8
- ③ 1/16
- ④ 1/32

Sol)

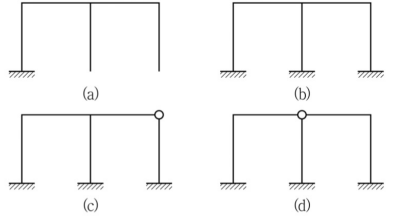


$$M_c = \frac{-P \cdot L}{2} + \frac{w \cdot L^2}{4} - \frac{w \cdot L^2}{8} = 0$$

$$\therefore P = \frac{w \cdot L}{4} = C_1 \cdot w \cdot L$$

$$\therefore C_1 = \frac{1}{4}$$

문 2. 그림과 같은 4가지 라멘구조물의 부정정 차수에 대한 설명으로 옳지 않은 것은?



- ① 라멘구조물 (a), (b), (c), (d)의 부정정 차수의 총합은 15이다.
- ② 라멘구조물 (a), (b), (c), (d) 중 부정정 차수가 0인 정정구조물은 없다.
- ③ 라멘구조물 (a), (b), (c), (d)의 부정정 차수가 큰 순서는 (b) > (c) > (d) > (a)이다.
- ④ 라멘구조물 (a), (b), (c), (d) 중 부정정 차수가 가장 큰 구조물과 가장 작은 구조물의 부정정 차수의 차는 6이다.

Sol)

$$\text{부정정 차수} = m + r + k - 2j$$

$$(a) : 5 + 3 + 4 - 2 \times 6 = 0$$

$$(b) : 5 + 9 + 4 - 2 \times 6 = 6$$

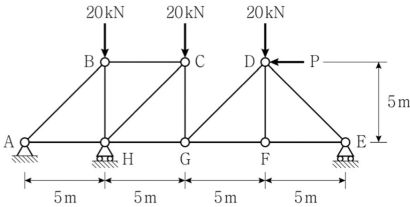
$$(c) : 5 + 9 + 3 - 2 \times 6 = 5$$

$$(d) : 5 + 9 + 2 - 2 \times 6 = 4$$

따라서 ② 만 틀린 내용.

문 3. 그림과 같은 트러스에서 지점 H와 E의 수직반력의 비 $\left(\frac{R_H}{R_E}\right)$ 가

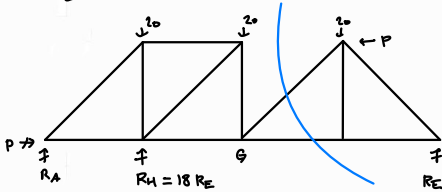
18일 때, D점에 작용하는 수평하중 P[kN]은? (단, 구조물의 자중은 무시한다)



- ① 8
- ② 9
- ③ 10
- ④ 11

sol)

1. R_E 찾기



$$\sum V = 0; \quad R_A + 18R_E = 60$$

$$\sum M_G = 0; \quad 10R_A + 90R_E - 5P - 10R_E = 0$$

$$\therefore R_A + 8R_E = \frac{P}{2}$$

$$\therefore R_E = \left(60 - \frac{P}{2}\right) / 11$$

2. P 찾기

외관 상은 $\sum M_G$ 편편할.

$$\sum M_G \text{ on right} = 0$$

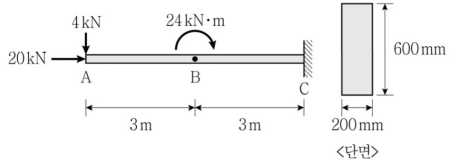
$$; \quad -5P - 10R_E + 100 = 0$$

$$; \quad -5P - \frac{600}{11} + \frac{5P}{11} + 100 = 0$$

$$; \quad \frac{50P}{11} = \frac{500}{11} \quad \therefore P = 10 \text{ (kN)}$$

ans) ③

문 4. 그림과 같이 폭 200 mm, 높이 600 mm의 직사각형 단면을 가지는 캔틸레버보에 집중하중과 휨모멘트 하중이 작용하고 있다. 캔틸레버보에서 발생되는 최대전단응력(τ_{max})과 최대압축응력(σ_{max})의 크기[MPa]는? (단, 구조물의 자중은 무시한다)

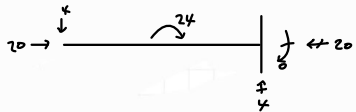


τ_{max} σ_{max}

- ① $\frac{1}{20}$ $\frac{1}{3}$
- ② $\frac{1}{20}$ $\frac{7}{6}$
- ③ $\frac{1}{30}$ $\frac{1}{3}$
- ④ $\frac{1}{30}$ $\frac{7}{6}$

sol)

1. V_{max} & M_{max}



$$V_{max} = 4 \text{ kN}$$

$$M_{max} = M_B = 12 \text{ kN}\cdot\text{m}$$

2. τ_{max}

$$\tau_{max} = \frac{3}{2} \cdot \frac{V_{max}}{A} = \frac{3}{2} \times \frac{4 \times 10^3}{12 \times 10^4}$$

$$= \frac{1}{20} \text{ MPa}$$

3. σ_{max}

$$\sigma_{max} = \frac{M_{max}}{S} + \frac{20 \text{ kN}}{A} = \frac{12 \times 10^6 \times 6}{200 \times (600)^2} + \frac{20 \times 10^3}{12 \times 10^4}$$

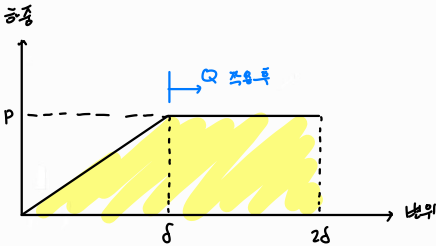
$$= 1 + \frac{1}{6} = \frac{7}{6} \text{ MPa}$$

ans) ②

문 5. 스프링에 힘이 0에서 P까지 서서히 작용하여 δ 만큼 길이가 늘어났다. 이 상태에서 추가 하중 Q가 작용하여 스프링이 추가로 δ 만큼 늘어났다면, P가 0에서부터 추가 하중 Q가 작용한 최종 단계까지 수행한 전체 일의 크기는? (단, 스프링은 선형탄성 거동을 한다)

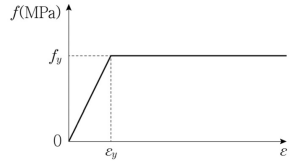
- ① $\frac{P\delta}{2}$
- ② $P\delta$
- ③ $\frac{3P\delta}{2}$
- ④ $2P\delta$

sol)



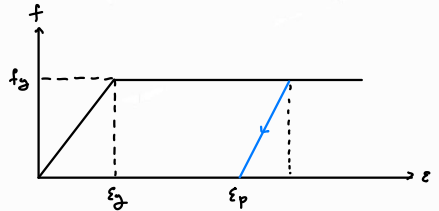
$$W = \frac{P \cdot \delta}{2} + P \cdot \delta = \frac{3P\delta}{2}$$

문 6. 그림과 같은 완전 탄성 응력 변형률 곡선을 갖는 길이 2m인 강봉에 인장력이 서서히 작용하여 10mm만큼 늘어난 후 하중이 제거될 경우에 영구적으로 늘어난 길이[mm]는? (단, 강봉의 항복강도 $f_y = 300$ MPa이고 탄성계수 $E = 200$ GPa이다)



- ① 7
- ② 8
- ③ 9
- ④ 10

sol)



$$\epsilon_y = \frac{f_y}{E} = 1.5 \times 10^{-3}$$

$$\epsilon_p = \frac{10}{2 \times 10^3} - \epsilon_y$$

$$= 5 \times 10^{-3} - 1.5 \times 10^{-3}$$

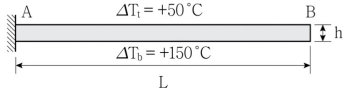
$$= 3.5 \times 10^{-3}$$

$$\text{영구 변형량} = \epsilon_p \times L$$

$$= 3.5 \times 10^{-3} \times 2 \times 10^3 \text{ mm}$$

$$= 7 \text{ mm}$$

문 7. 그림과 같이 캔틸레버보에서 상·하부 온도증가가 발생할 때 B점에서의 수직 변위는? (단, 부재의 열팽창계수는 α , 보 상부의 온도증가 ΔT_t 는 $+50^\circ\text{C}$, 보 하부의 온도증가 ΔT_b 는 $+150^\circ\text{C}$ 이고, 구조물의 자중은 무시한다)



- ① $\frac{50\alpha L^2}{h}$
- ② $\frac{100\alpha L^2}{h}$
- ③ $\frac{50\alpha L}{h}$
- ④ $\frac{100\alpha L}{h}$

Sol)

1. 곡률 K

$$\Delta T = 50 - 150 = -100^\circ\text{C}$$

$$K = \frac{d \cdot \Delta T}{h} = \frac{d \cdot 100}{h}$$

2. Δ_B

$$y = \iint K dx + C_1 \cdot x + C_2$$

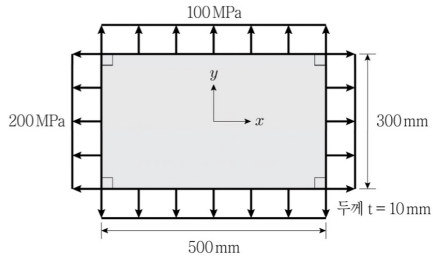


$$y(0) = 0, y'(0) = 0 \quad \therefore C_1 = 0, C_2 = 0$$

$$y'(x) = \frac{d \cdot 100}{h} \cdot x, \quad y(x) = \frac{d \cdot 50}{h} \cdot x^2$$

$$\Delta_B = y(L) = \frac{d \cdot 50 \cdot L^2}{h}$$

문 8. 그림과 같은 직사각형 판에 x 축 방향으로는 200MPa의 인장응력이, y 축 방향으로는 100MPa의 인장응력이 각각 작용할 때, 판 두께 방향의 길이변화량[mm]은? (단, 판 두께는 10mm이고, 재료의 탄성계수(E)는 200GPa, 포아송비(ν)는 0.3이며, 균질등방성 재료이다)



- ① -0.003
- ② -0.0045
- ③ -0.006
- ④ -0.0075

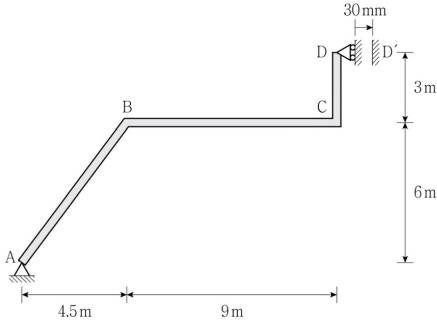
Sol)

판 두께 방향 = z 방향

$$\begin{aligned} \epsilon_z &= \frac{1}{E} \cdot (-\nu \cdot \sigma_x - \nu \cdot \sigma_y) \\ &= \frac{-0.3}{200 \times 10^9} \cdot (300) = -0.45 \times 10^{-3} \end{aligned}$$

$$\begin{aligned} \delta_z &= \epsilon_z \times 10\text{mm} = -0.45 \times 10^{-2} \\ &= -0.0045 \end{aligned}$$

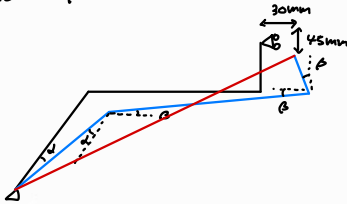
문 9. 그림과 같은 강체 구조물의 지점 D가 원래 위치에서 오른쪽으로 30mm만큼 수평 이동할 때, B점의 수직처짐[mm]은? (단, 구조물의 자중은 무시한다)



- ① 5
- ② 10
- ③ 15
- ④ 20

sol)

1. 변위각 d, β



$$6d + 3\beta = 0.03 \text{ m}$$

$$4.5d + 9\beta = 0.045 \text{ m}$$

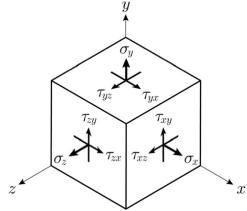
$$13.5d = 0.045 \text{ m}$$

2. Δ_{BV}

$$\Delta_{BV} = 4.5d = 0.015 \text{ m} = 15 \text{ mm}$$

ans) ③

문 10. 그림과 같은 3차원 응력 요소에서, 축이 새로운 위치로 회전할 경우 그 값이 변하는 것은? (단, 그림에는 좌표축의 양의 면에 작용하는 응력만 표시되었고, 반대방향 응력은 음의 면에 작용한다)



- ① $\sigma_x + \sigma_y + \sigma_z$
- ② $\tau_{xy}^2 + \tau_{xz}^2 + \tau_{yz}^2$
- ③ $\sigma_x \sigma_y + \sigma_x \sigma_z + \sigma_y \sigma_z - \tau_{xy}^2 - \tau_{xz}^2 - \tau_{yz}^2$
- ④ $\sigma_x \sigma_y \sigma_z + 2\tau_{xy} \tau_{xz} \tau_{yz} - \sigma_x^2 \tau_{yz}^2 - \sigma_y^2 \tau_{xz}^2 - \sigma_z^2 \tau_{xy}^2$

sol)

자중은 무시하고 $\sigma_z = 0, \tau_{xz} = \tau_{yz} = 0$ 가정.

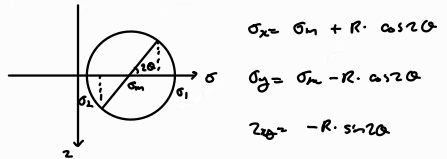
(2차원인 축이 변하지, 3차원인 축이 변함)

① $\rightarrow \sigma_x + \sigma_y$

② $\rightarrow \tau_{xy}^2$

③ $\rightarrow \sigma_x \sigma_y - \tau_{xy}^2$

④ $\rightarrow 0$



$$\sigma_x = \sigma_m + R \cdot \cos 2\theta$$

$$\sigma_y = \sigma_m - R \cdot \cos 2\theta$$

$$\tau_{xy} = -R \cdot \sin 2\theta$$

①: $2\sigma_m \therefore \text{일정}$

②: $R^2 \sin^2 2\theta \therefore \text{일정} \times (\theta \text{ 변함})$

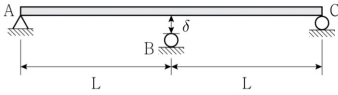
③: $\sigma_m^2 - R^2 \therefore \text{일정} (\sigma_m, R \text{ 일정})$

④: $0 \therefore \text{일정}$

따라서 ② 변함.

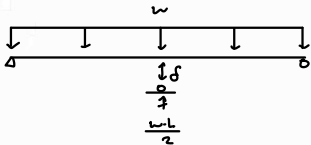
ans) ②

문 11. 그림과 같이 지점 B에 δ 만큼의 침하가 발생한 2경간 연속보가 있다. 침하로 단순화된 보의 전 지간에 작용하는 등분포하중 w 에 의해 지점 B에 $\frac{wL}{2}$ 의 수직반력이 생겼다면, 침하량 δ 의 크기는? (단, 보의 휨강성 EI는 일정하고, 구조물의 자중은 무시한다)



- ① $\frac{wL^4}{8EI}$
- ② $\frac{wL^4}{24EI}$
- ③ $\frac{wL^4}{48EI}$
- ④ $\frac{64wL^4}{384EI}$

sol)

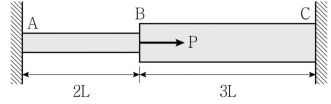


$$f = \frac{5w \cdot (2L)^4}{384EI} - \frac{\left(\frac{wL}{2}\right) \cdot (2L)^3}{48EI}$$

$$= \frac{5w \cdot L^4 - 2w \cdot L^4}{48EI} = \frac{3w \cdot L^4}{48EI}$$

ans) ①

문 12. 그림과 같이 완전 탄소성 거동을 하고, 압축 및 인장 항복강도가 f_y 인 양단 고정보의 단면 변화 부분에 축하중 P가 작용할 경우, 극한하중(P_u)의 크기는? (단, 부재 AB와 BC의 단면적은 각각 a와 2a이며, 구조물의 좌굴 및 자중은 무시한다)

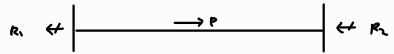


- ① $a f_y$
- ② $2a f_y$
- ③ $3a f_y$
- ④ $5a f_y$

sol)

1. 각 부재가 받는 힘

P를 둘 고정보에 전달



$$R_1 = R_2 = \frac{E \cdot \alpha}{2L} : \frac{E \cdot 2a}{3L} = 3 : 4$$

$$\therefore R_1 = \frac{3}{7} P, \quad R_2 = \frac{4}{7} P$$

2. 휨력 부재

$$\sigma_1 = \frac{R_1}{a} = \frac{3P}{7a}, \quad \sigma_2 = \frac{R_2}{2a} = \frac{2P}{7a}$$

$$\therefore \sigma_1 < \sigma_2 < f_y \text{ 였다.}$$

3. 극한하중

$$\text{휨력 } \sigma_1 = f_y \cdot a$$

$$\therefore R_1 = P - R_2 = P - f_y \cdot a$$

$$R_2 \geq f_y \cdot 2a \text{ 이 되도록 하겠다.}$$

$$\therefore P - f_y \cdot a = f_y \cdot 2a$$

$$\therefore P_u = 3a \cdot f_y$$

sol) ③

문 13. 그림과 같은 양단 힌지기둥이 오일러 좌굴하중에 의해 좌굴이 발생되도록 하는 온도 증가량 ΔT 는? (단, α 는 열팽창계수, EI 는 휨강성, a 는 기둥의 단면적이고, 보의 자중은 무시한다)



- ① $\frac{\alpha a L}{\pi^2 EI}$
- ② $\frac{\pi^2 EI}{\alpha a L}$
- ③ $\frac{\pi^2 I}{\alpha a L^2}$
- ④ $\frac{\alpha a L^2}{\pi^2 I}$

Sol)

1. 온도 증가에 의한 하중 P

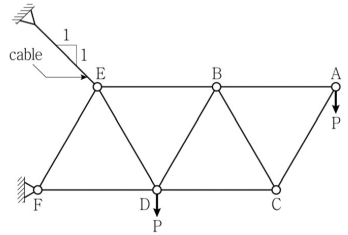
$$P = \alpha \cdot \Delta T \cdot E \cdot a \quad (\because \alpha \cdot \Delta T \cdot L - \frac{PL}{EA} = 0)$$

2. 좌굴 하중

$$\alpha \cdot \Delta T \cdot E \cdot a = \frac{\pi^2 EI}{L^2}$$

$$\therefore \Delta T = \frac{\pi^2 I}{\alpha \cdot a \cdot L^2}$$

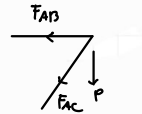
문 14. 그림과 같이 하중 P가 작용하는 평면 트러스 구조물에서 부재 AB의 부재력은? (단, 모든 트러스 부재의 길이는 같고, 자중은 무시한다)



- ① $\frac{P}{\sqrt{3}}$ (인장)
- ② $\frac{P}{\sqrt{3}}$ (압축)
- ③ $\frac{2}{\sqrt{3}}P$ (인장)
- ④ $\frac{2}{\sqrt{3}}P$ (압축)

Sol)

1. 절점 A 평형방정식



$$\sum F_x = 0; \quad -F_{AB} - \frac{1}{2} F_{AC} = 0$$

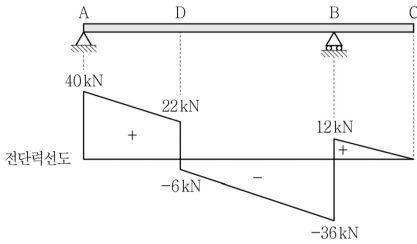
$$\sum F_y = 0; \quad P - \frac{\sqrt{3}}{2} F_{AC} = 0$$

2. F_{AB} 의 크기

$$F_{AC} = \frac{2P}{\sqrt{3}}$$

$$F_{AB} = -\frac{1}{2} F_{AC} = \frac{P}{\sqrt{3}} \text{ (압축)}$$

문 15. 그림과 같은 내민보의 전단력선도에 대한 설명으로 옳지 않은 것은?



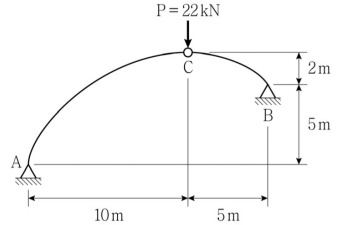
- ① 지점 A의 수직반력은 상향으로 40kN이다.
- ② 지점 B의 수직반력은 상향으로 12kN이다.
- ③ 하향수직 등분포하중이 보의 전 구간에 작용한다.
- ④ 점 D에 작용하는 하향수직 집중하중의 크기는 28kN이다.

sol)

- ②: B점의 수직반력은 12kN이므로
B점 수직 반력은 48kN (↑) ∴ X
- ③: SFD 0인 지점이 중심(-)이므로
전 구간에서 등분포 하중이 작용 ∴ O

ans) ②

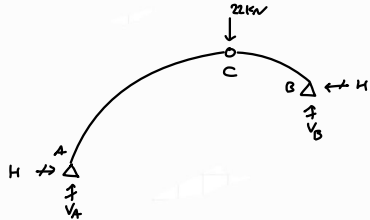
문 16. 그림과 같은 비대칭 3힌지 아치에서 힌지 C점에 하중 P = 22kN이 수직으로 작용한다. 지점 B의 수평반력의 크기[kN]는? (단, 자중은 무시한다)



- ① 10
- ② 15
- ③ 18
- ④ 20

sol)

1. 자유 몸체도



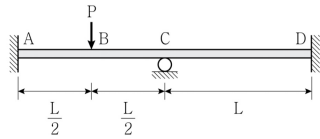
2. 평형방정식

$$\begin{aligned} \sum F_H = 0; & \quad V_A + V_B = 22 \\ \sum M_A = 0; & \quad 22 \times 10 - 5H - 15V_B = 0 \\ \sum M_B = 0; & \quad 2H - 5V_B = 0 \end{aligned}$$

∴ $H = 20 \text{ kN}, V_B = 8 \text{ kN}$

ans) ④

문 17. 그림과 같은 구조물에 하중 P가 작용하는 경우에 발생하는 휨변형곡선에서 최소 변곡점의 개수는?



- ① 1
- ② 2
- ③ 3
- ④ 4

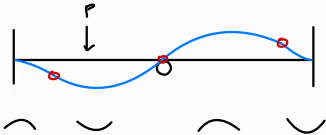
sol)

1. 비등분

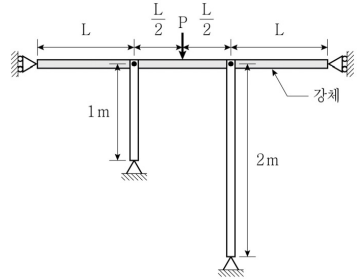
비등분은 관성모멘트가 비등분이다.

비등분은 거를 통해 비등분 경사가 비등분.

2. 비등분



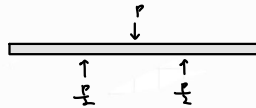
문 18. 그림과 같이 수평 강체보가 동일한 단면의 기둥 두 개로 지지되어 있다. 각 기둥의 상단은 강체보와 핀으로 연결되어 있고 두 기둥의 지점은 현저일 때, 임계좌굴하중 P의 크기[N]는? (단, 기둥 부재는 한 변의 길이가 12mm인 정사각형 단면이고, 탄성계수 E = 200 GPa이며, 강체보와 기둥의 자중은 무시한다)



- ① $86.4\pi^2$
- ② $172.8\pi^2$
- ③ $345.6\pi^2$
- ④ $691.2\pi^2$

sol)

1. 각 기둥이 받는 하중



강체가 좌굴형 상태에 있으려면

각 기둥은 P/2 만큼의 힘을 받아야 함.

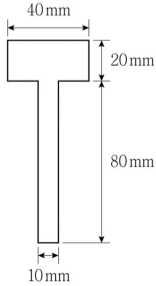
2. 좌굴 조건

힘, 단부조건이 같으므로 2m 기둥이 받는 좌굴

$$\frac{P}{2} = \frac{\pi^2 EI}{(2m)^2}$$

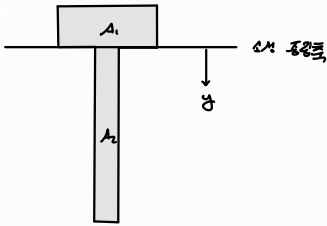
$$\therefore P = \frac{2\pi^2 \cdot 200 \times 10^3 \times 12^3}{4 \times 10^6} = \frac{864}{5} \pi^2 = 172.8 \pi^2$$

문 19. 그림과 같은 T형 단면이 받을 수 있는 소성 휨모멘트 M_p 의 크기 $[\text{kN} \cdot \text{m}]$ 는? (단, 재료는 완전 탄소성 모델로 가정하고, 항복강도 $f_y = 100 \text{ MPa}$ 이다)



- ① 0.8
- ② 2.4
- ③ 3.2
- ④ 4.0

sol)



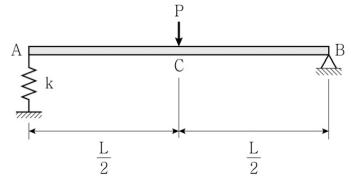
$$Z = \sum (A_i \cdot \bar{y}_i) = 800 \times (10 + 40) = 40000 \text{ mm}^3$$

$$M_p = f_y \cdot Z = 4 \times 10^6 \text{ N} \cdot \text{mm} = 4 \text{ kN} \cdot \text{m}$$

ans) ④

문 20. 그림과 같은 구조물에서 A점의 탄성 스프링 상수 k 가 $\frac{16EI}{L^3}$ 일

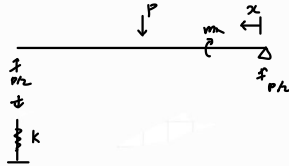
때, 보의 중앙 C의 처짐은? (단, 휨강성은 EI 이고, 구조물의 자중은 무시한다)



- ① $\frac{1}{192} \frac{PL^3}{EI}$
- ② $\frac{3}{192} \frac{PL^3}{EI}$
- ③ $\frac{5}{192} \frac{PL^3}{EI}$
- ④ $\frac{7}{192} \frac{PL^3}{EI}$

sol)

1. 가상변위 δ



$$m_x = \frac{P}{L} \cdot x \quad (0 \leq x \leq \frac{L}{2})$$

$$U = \int_0^{\frac{L}{2}} \frac{m_x^2}{2EI} dx \times 2 + \frac{(P\delta)^2}{2k}$$

$$= \int_0^{\frac{L}{2}} \frac{P^2 x^4}{4EI^2} dx + \frac{P^2}{8k}$$

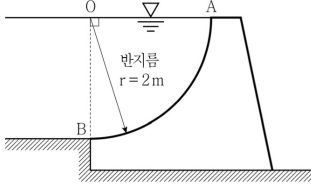
$$= \frac{P^2}{12EI} \cdot \frac{L^3}{8} + \frac{P^2}{8k}$$

2. Δ_c

$$\Delta_c = \frac{\partial U}{\partial P} = \frac{P \cdot L^3}{48EI} + \frac{P}{4k} = \frac{11 P \cdot L^3}{192 EI}$$

ans) ④

문 21. 그림과 같이 댐에 수심 2m의 물이 차 있다. 댐 길이가 단면의 수직 방향으로 100m일 때, 물에 의하여 댐 표면에 작용하는 합력의 크기[MN]는? (단, 물의 밀도는 $1,000 \text{ kg/m}^3$ 이고, 중력 가속도는 10 m/s^2 , 원주율은 3을 사용한다)

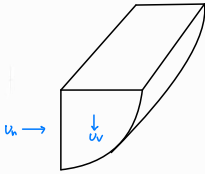


- ① $\sqrt{10}$
- ② $\sqrt{11}$
- ③ $\sqrt{12}$
- ④ $\sqrt{13}$

sol)

$$\rho = 1000 \text{ kg/m}^3, g = 10 \text{ m/s}^2$$

$$\gamma_w = \rho \cdot g = 10 \text{ kN/m}^3$$



1. U_h

$$U_h = \gamma_w \times 2\text{m} \times 100\text{m} \times 1\text{m} = 2000 \text{ kN} (\rightarrow)$$

2. U_v

$$U_v = \gamma_w \times \frac{\pi \cdot (2\text{m})^2}{4} \times 100\text{m}$$

$$= 10 \text{ kN} \times 3 \times 100 = 3000 \text{ kN} (\downarrow)$$

$$\therefore U = \sqrt{U_v^2 + U_h^2} = \sqrt{13} \text{ MN}$$

ans) ④

문 22. 외력에 의해 보에 발생하는 내력(internal force)에 대한 설명으로 옳은 것은?

- ① 축력, 휨모멘트, 전단력, 반력은 내력에 해당한다.
- ② 전단력은 단면에 평행한 방향으로 발생하는 힘이다.
- ③ 휨모멘트는 부재의 길이 방향 축을 중심으로 회전하려는 힘이다.
- ④ 비틀림모멘트는 부재의 축과 직각을 이루는 축을 중심으로 회전하려는 힘이다.

sol)

① : 반정답은 내력 x

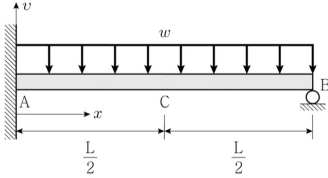
② : OK

③ : 휨모멘트 → 비틀림 모멘트

④ : 비틀림 모멘트 → 휨 모멘트

ans) ②

문 23. 그림과 같이 등분포하중 w 가 작용하는 보의 처짐 곡선이 $v = -\frac{wx^2}{48EI}(3L^2 - 5Lx + 2x^2)$ 일 때, $x = \frac{L}{2}$ 인 C점에서의 휨모멘트의 크기는? (단, 휨강성은 EI이고, 구조물의 자중은 무시한다)



- ① $\frac{wL^2}{2}$
- ② $\frac{wL^2}{4}$
- ③ $\frac{wL^2}{8}$
- ④ $\frac{wL^2}{16}$

Sol)

$$V''(x) = \frac{M(x)}{EI} \text{ 이므로 } M(x) = EI \cdot V''(x)$$

처음 $V(x) = \frac{-w}{48EI} \cdot (3L^2 \cdot x^2 - 5L \cdot x^3 + 2x^4)$

다음 $V'(x) = \frac{-w}{48EI} \cdot (6L^2 \cdot x - 15L \cdot x^2 + 8x^3)$

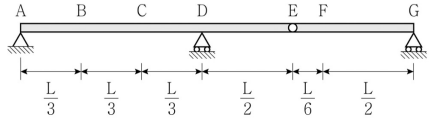
다음 $V''(x) = \frac{-w}{48EI} \cdot (6L^2 - 30L \cdot x + 24x^2)$

$$V''\left(\frac{L}{2}\right) = \frac{-w}{48EI} \cdot (6L^2 - 15L^2 + 6L^2)$$

$$= \frac{w \cdot L^2}{16EI}$$

$$\therefore M\left(\frac{L}{2}\right) = \frac{w \cdot L^2}{16}$$

문 24. 그림과 같은 게르버보에 (가)~(라)와 같이 수직하중이 각각 작용할 때, C점에 발생하는 휨모멘트 크기의 절댓값이 가장 작은 것은? (단, 보의 자중은 무시한다)



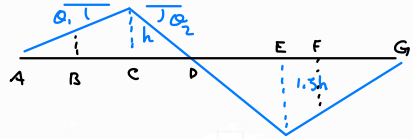
- | | |
|----------------|----------------|
| (가) B점에 3.0 kN | (나) C점에 2.0 kN |
| (다) E점에 1.5 kN | (라) F점에 2.0 kN |

- ① (가)
- ② (나)
- ③ (다)
- ④ (라)

3이)

1. M의 영향선 구하기

영향선 - 보의 끝에서 단위 하중



2. 각 경우 $|M_c|$

(가) B에 3kN : $3 \times \frac{h}{2} = 1.5h$

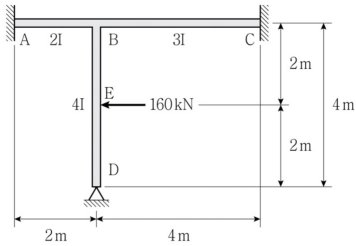
(나) C에 2kN : $2 \times h = 2h$

(다) E에 1.5kN : $1.5 \times 1.5h = 2.25h$

(라) F에 2kN : $2 \times 1.125 = 2.25h$

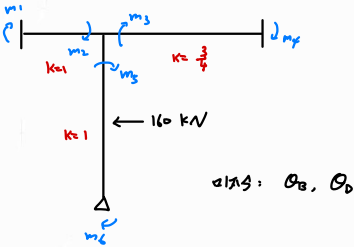
\therefore (가)의 경우가 절댓값 최소

문 25. 그림과 같은 프레임 구조물의 E점에 집중하중 160 kN이 수평으로 작용할 때, C점의 부재단 모멘트 M_{CB} 의 크기 [kN·m]는? (단, 구조물의 탄성계수는 일정하고, I는 단면2차모멘트이며, 자중은 무시한다)



- ① 18
- ② 24
- ③ 30
- ④ 36

Sol)



$$m_2 + m_3 + m_5 = 0$$

$$\therefore 2\theta_B + \frac{3}{2} \cdot 2\theta_B + 2\theta_D + \theta_D - \frac{160 \cdot 4}{8} = 0$$

$$\therefore 5.5\theta_B + \theta_D - 80 = 0$$

$$m_4 = 0$$

$$\therefore 2\theta_D + \theta_B + \frac{160 \cdot 4}{8} = 0$$

$$\therefore 2\theta_D + \theta_B + 80 = 0$$

$$\therefore \theta_B = 24, \theta_D = -52$$

$$\therefore m_4 = \frac{3}{2} \cdot \theta_B = 18 \text{ kN}\cdot\text{m}$$